

中国产家蚕抗菌肽 A 基因部分序列的测定*

李建民 周开亚 张双全 戴祝英

(南京师范大学生物系, 南京 210097)

朱昌亮 叶新海

(南京医科大学基础医学院, 南京 210029)

摘要 从大肠杆菌感染的家蚕蛹提取 RNA, 用 RT-PCR 方法扩增未知抗菌肽基因片段, 经过克隆测序, 获得了蚕抗菌肽 A 基因的部分片段 164 bp, 为制备蚕抗菌肽 A 基因探针, 筛选基因文库打下了基础。

关键词 蚕抗菌肽 A 基因, 序列分析, *Bombyx mori*

学科分类号 Q939.92

动物抗菌多肽 (antibacterial peptides) 是动物 (包括人类) 产生的先天性免疫中具有重要作用的一类抗菌蛋白。家蚕和昆虫在受到微生物感染后, 能产生一系列的抗菌蛋白进入血淋巴中, 目前已确认的至少有蚕抗菌肽 (cecropins)、樗蚕素 (attacins)、溶菌酶 (lysozymes)、双翅素 (diptericins)、防御素 (defensins)、麻蝇毒素 (sarcotoxin)、蜂毒素 (abaecin)、杀菌素 (bactericidin) 和角毒素 (ceratotoxin) 等^[1~3]。其中蚕抗菌肽 (cecropin) 是一种重要的蚕类抗菌多肽, 也是研究的热点。

蚕抗菌肽首次是由 Hultmark 等^[3]从榨蚕 (*Hyalophora*) 中分离并测序的。随后, 在其他昆虫和蚕类中相继发现了抗菌肽的同源家族并测定部分抗菌肽的 cDNA 序列^[4~8]。中国产家蚕抗菌肽虽然早在 1986 年就测定了 CM 系列氨基酸序列^[9], 但尚无基因序列的报道。

本文通过诱导家蚕蛹, 提取总 RNA, 应用 RT-PCR 技术, 根据家蚕 CM4 的活性肽氨基酸序列和已知蚕抗菌肽的前导肽的氨基酸序列, 设计简并引物扩增蚕抗菌肽基因片段, 并通过克隆该片段, 得到了蚕抗菌肽 A 基因的部分序列。

1 材料和方法

1.1 试剂和酶

异硫氰酸胍, 购自上海伯奥生物科技公司; β -巯基乙醇, 购自 Fluka 公司; 十二烷基肌氨酸钠 (SLS), 购自 Sigma 公司; 焦碳酸二乙酯 (DEPC), 购自 Serva 公司。

PloyAT tract[®] Series9600TM mRNA Isolation System 试剂盒、逆转录酶 (AMV) 均购自 Promega 公司。

1.2 受体菌和克隆载体

JM 109 菌株, PinPointTM Xα1 T-质粒载体购自 Promega 公司。

1.3 家蚕

购自镇江中国蚕业研究所, 为浙农一号。

1.4 方法

1.4.1 mRNA 的提取: 取家蚕蛹, 注射对数生长期的 *E. coli* K12D31 5 μl/只, 25℃放置 9 h 后, 取蚕蛹尾部脂肪体组织 1 g, -80℃研磨粉碎, 用异硫氰酸胍法^[10], 经氯仿、异丙醇和醋酸钠二次沉淀, 提取总 RNA, 用 PolyATtract mRNA 试剂盒从 0.5 mg 总 RNA 中纯化 mRNA。

1.4.2 反转录合成单链 cDNA: 用 1 μg mRNA 加 20 μl 的反应液 (50 mmol/L KCl, 3 mmol/L MgCl₂, 10 mmol/L Tris-HCl pH 8.3, 1 mmol/L DTT, 5 μmol/L Oligo d(T)₁₇, 500 μmol/L dNTPs, 26 U RNAsin, 8 U 逆转录酶 (AMV)), 42℃反应 90 min, 反转录合成第一链。反应结束后, 加 RNAase H, 37℃ 30 min 降解 RNA。

1.4.3 引物设计: 蚕抗菌肽基因所表达的蛋白质全长为 63~65 个氨基酸, 1~26 为前导肽, 27 以后的 35~37 个氨基酸为活性肽部分^[6,7]。本文作者之一张双全曾参加家蚕抗菌肽 CM4 的活性肽氨基酸序列的测定, 在对家蚕抗菌肽 CM4 和天蚕 3 种抗菌肽氨基酸序列作比较后, 发现其与天蚕 A 的同源性高达 83%^[3,5,7], 因此用天蚕基因的前导肽 R (-22) ~ V (-17) (5'-g (A/T/C/g) ATI TTI TTI TTI gT-3'), 为 5' 端引物, 16 个碱基; 3' 端用 CM4 的活性部分, A27~A33 为下游引物 (5'-TT IgC ITg ICC IAT IAC IgC-3'), 20 个碱基。

* 国家自然科学基金资助项目 (39770117)。

收稿日期: 1998-09-15, 修回日期: 1999-01-19

I为次黄嘌呤，可和A、T、C、G四种碱基通配（图1）。

1.4.4 PCR扩增家蚕抗菌肽基因片段：用所设计的引物，以上述家蚕cDNA为模板扩增特异片段。PCR总体积为30 μl，在其中含50 mmol/L KCl，

前导肽	-26	-20	-10	-1
天蚕B	M N F S R I F F F V F A L V L A L S T V S A A P E P			
天蚕A C L T .. A M . N			
天蚕D	.. . T K . L L .. V . C . F . M G .. S . . . - -			
成熟肽	1	10	20	27 30
天蚕B	K W K V F K K I E K M G R N I R N G I V K A G P A I A V L G E A K A L G			
天蚕A	.. . L V . Q . . D . I V . Q . T Q I A K G			
天蚕D	- . N P . . E . . . V . Q R V R D A V I S . . . V . T V A Q . T . L A K G K			
家蚕CMIV	R . . I V . Q . . D . . V E . V . Q . A T I			

图1 引物设计的依据：榨蚕抗菌肽A, B, D^[3,5,7]与蚕抗菌肽CM4的氨基酸序列的比较

1.4.5 靶DNA片段的回收和纯化：用3%的低熔点琼脂糖凝胶电泳法回收和纯化靶DNA片段，根据产物大小，收集期待的片段作二次PCR扩增，除退火温度提高至50℃以上，其他均与第一次PCR一致，获得家蚕抗菌肽基因片段。

1.4.6 家蚕抗菌肽A基因的部分片段的克隆：家蚕抗菌肽A基因的部分片段用直接T/A克隆法进行克隆^[11]，在PCR反应中，Taq DNA聚合酶能在产物的3'末端随机加上不依赖于模板的A, G, C, T，理论上以A概率较大。将该片段纯化后，用具有T粘末端的PinPointTM Xα1质粒载体克隆，转化到大肠杆菌JM109菌株，在含氨苄霉素(AMP⁺)的平板生长过夜，挑选白斑，用SP6/PinPiont引物经PCR扩增获取目的片段阳性克隆，获取的阳性克隆经碱裂解法提取质粒DNA。

1.4.7 阳性克隆序列测定：随机取3个阳性克隆，用SP6/PinPoint引物制备双链DNA目的片段，经Quick PCR Purification试剂盒纯化；用SILVER-SEQUENCETM DNA Sequencing System(Promega)银染测序，制备序列反应物，在聚丙烯酰胺凝胶上电泳，读序^[12]。

2 结果

2.1 RNA的提取

从脂肪体提取家蚕总RNA，关键在于脂肪的去除。实验中我们曾用RNAGents[®] Total RNA

3 mmol/L MgCl₂, 10 mmol/L Tris-HCl, pH 8.3, 0.5 U Taq DNA多聚酶, 200 nmol/L dNTPs, PCR反应为45℃退火, 70℃延伸20 min, 95℃预变性3 min, 95℃30 s, 55℃30 s, 72℃30 s, 35个循环, 72℃延伸20 min。

Isolation System (Promega)试剂盒(酸酚)提取总RNA，但 A_{260}/A_{280} 比值始终不理想，后用异硫氰酸法(碱酚)并加大试剂用量，得到了纯度较高的总RNA， $A_{260}/A_{280}=2.0$ 。

2.2 目的基因片段的扩增

用家蚕RNA反转录合成第一链cDNA，用设计的两个简并引物经PCR得到一条很弱的164 bp片段，该片段经第二次PCR扩增后，得到了较强的片段。

实验中发现，直接从单链cDNA扩增基因片段，扩增产物不稳定，我们采用先延伸，再PCR，结果特异带出现比较稳定。

2.3 目的基因片段的克隆及筛选

在T4 DNA连接酶作用下，该片段被插入PinPointTM Xα1克隆载体上，本文用质粒PinPointTM Xα1多克隆位点上下游的测序引物(PinPoint测序引物5'-CGTGACGCGGTGCAGGGCG-3'和SP6测序引物5'-CATACGATTTAGGT-GACACTATAAG-3')作为PCR引物，直接挑取白斑进行PCR反应。反应体系为10 μl, 2个测序引物各2 pmol，其余同前。由于两个测序引物至EcoRV克隆位点的距离之和为144 bp，而靶DNA片段分别为164 bp(按天蚕抗菌肽cDNA序列估计)，因而重组子克隆应扩增出308 bp片段(图2)。

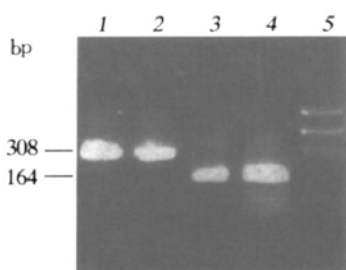


图 2 目的基因片段的琼脂糖凝胶电泳图谱

1, 2: 经 SP6/PinPiont 引物 PCR 扩增二个阳性克隆获取的目的片段 (308 bp); 3: 二次逆转录 PCR 扩增产物 (164 bp); 4: 纯化后的二次逆转录 PCR 扩增产物 (164 bp); 5: PGEM-7ZL (+) / Hae III 分子质量标准。

2.4 目的片段碱基序列测定

随机取 3 个阳性克隆, 银染测序, 发现 3 个克隆的碱基序列均一致 (图 3). 此碱基序列对应的氨基酸序列, 与 Morishima 等^[8]报道的日本家蚕抗菌肽 A 氨基酸序列相似 (图 4). 在测定的序列区, 对应的氨基酸与日本家蚕抗菌肽 A 仅活性肽部分有两个氨基酸的差别, 中国家蚕活性肽的第 14 位赖氨酸 (Lys) 取代了日本家蚕的天冬酰胺 (Asn), 第 17 位的甘氨酸 (Gly) 取代了天冬氨酸 (Asp), 而与抗菌肽 B 和 CM4 差别较大, 我们认为所测定的为家蚕抗菌肽 A 基因.

前导肽	-26	-20	-11
BMA	---	CGI ATI TTI TTI TTI GTC	TTC GCG TTG GTG CTG GCT
	- - - - -	F V F A L V L A	
	-10		-1
BMA	CTG GCC CCG GTC AGC GCT GCT CCT GAG CCC		
	L G A V S A A P E P		
成熟肽	1		10
BMA	AGG TGG AAA CTC TTC AAG AAA ATT GAG AAA GTG GGA CGC AAA GTT CGC GGT		17
	R W K L F K K I E K V G R K V R G G L I K A G P A I A V I G Q ---		
	18 20		31
BMA	GGA TTA ATC AAA GCG GGT CCA GCT ATA GCC GTC ATA GGA CAA GCI AAI TTF.....		
	G L I K A G P A I A V I G Q ---		

图 3 家蚕抗菌肽 A 基因的部分序列

成熟肽	1	10	20	30
BAA	RWKLFKKIEK	VGRKVRGGLI	KAGPAIAVIG	Q ---
BAM1(Morishima I, 1990)N..D.....AKSLGK

图 4 中国家蚕与日本家蚕抗菌肽 A 序列部分氨基酸的比较

3 讨 论

RT-PCR 扩增特异性基因片段, 失败的主要原因一般有两个: 在逆转录酶作用下没有能形成 cDNA 第一链或由于引物的设计错误无法扩增出特异片段, 后者在通过氨基酸序列而设计的简并引物扩增中尤为重要. 实验中我们曾设计了用 A、C、G、T 代替 I 的引物, 由于单一引物浓度相对小, 因此, 扩增反应中, 引物浓度增加了 120 倍 (简并度为 1024) 才得到扩增产物, 且非目的片段大量增加, 没有能获得目的片段. 用 I 代替 A、C、G、T, 虽然可以降低引物浓度, 但长度非常重要, 小于 20 bp 的引物往往非特异片段增多, 给分离带来困难, 而大于 30 bp 的引物虽然必要, 但实际工作中可以通过改变 PCR 反应条件来提高特异性. 我

们在工作中先后合成了 16 对引物, 仅本文报道的这对引物获得了抗菌肽 A 基因.

虽然我们是根据 CM4 的氨基酸序列设计引物的, 但此引物序列上仅第 4 个氨基酸与家蚕抗菌肽 A 不同, 以致筛选克隆时, 首先得到了抗菌肽 A 基因片段, 在对第 7 个阳性克隆测序时, 我们得到了 CM4 的 cDNA 片段. 但是由于目前仅得到一个拷贝, 还有待测得更多克隆来证明 (因为通过 RT-PCR 扩增来测定基因序列, 必须防止 PCR 反应中的错误掺入). 因此, 目前尚不作报道.

家蚕抗菌肽 A 基因序列片段的测定, 为制备探针, 筛选我们已构建的被大肠杆菌感染 9 小时的中国家蚕 cDNA 文库提供了物质基础, 同时为用 PCR 方法来研究中国家蚕抗菌肽 A mRNA 的表达水平和基因结构提供了可能.

参考文献

- 1 Boman H G. Peptide antibiotics and their role in innate immunity. *Annu Rev Immun*, 1995, **13**: 61~ 92
- 2 Lehrer R I, Lichtenstein A K, Ganz T. Defensins antimicrobial and cytotoxic peptides of mammalian cells. *Annu Rev Immun*, 1993, **11**: 105~ 108
- 3 Hultmark D H, Steiner H, Rasinuson T, et al. Insect immunity, purification and properties of three inducible bactericidal proteins from hemolymph of immunized pupae of *Hyalophora cecropia*. *Eur J Biochem*, 1980, **106** (1): 7~ 16
- 4 Taniai K, Kato Y, Hirochika H, et al. Isolation and nucleotide sequence of cecropin B cDNA clones from the silkworm, *Bombyx mori*. *Biochim Biophys Acta*, 1992, **1132** (2): 206~ 209
- 5 Lidholm J A, Gudmundur H G, Lleanthis G X, et al. Insect immunity: cDNA clones coding for the precursor for ms of cecropins A and D antibacterial proteins from *Hyalophora cecropia*. *FEBS Letter*, 1987, **226** (1): 8~ 12
- 6 Gudmundur H G, Dan A L, Asling B, et al. Cloning and expression of a gene cluster encoding three antibacterial peptides in *Hyalophora cecropia*. *J Biol Chem*, 1991, **266** (18): 15510~ 11517
- 7 Van Hofsten P, Faayee L, Kockum K, et al. Molecular Cloning, cDNA Sequencing, and Chical synthesis of cecropia B from *Hyalophora cecropia*. *Proc Natl Acad Sci USA*, 1985, **82** (8): 2240~ 2243
- 8 Morishima I, Suginaka T U, Hirane H, et al. Isolation and structure of cecropins, inducible antibacterial peptides from the silkworm, *Bombyx mori*. *Comp Biochem Physiol*, 1990, **95B** (3): 551~ 554
- 9 张双全, 屈贤铭, 戚正武 (Zhang S Q, Qu X M, Qi Z W). 昆虫免疫应答及抗菌肽应用前景. 生物化学杂志 (J Biochem), 1987, **3** (3): 1118~ 1120
- 10 Chomczynski P, Sacchi N. Single-step method of RNA isolation by acid guanidinium thiocyanate phenol chloroform extraction. *Analy Biochem*, 1987, **162** (1): 156~ 169

- 11 王瑛 (Wang Y). PCR 产物直接分子克隆的比较研究. 生物工程进展 (Prog Biotech), 1996, **16** (5): 55~ 57
- 12 王亚明 (Wang Y M). 白暨豚、江豚和虎的分子进化遗传学研究: [学位论文]. 南京: 南京师范大学研究生处, 1995

Sequencing Partial Fragment of Cecropin A cDNA in the Silkworm *Bombyx mori* From China. LI Jian-Min, ZHOU Kai-Ya, ZHANG Shuang-Quan, DAI Zhu-Ying (Department of Biology, Nanjing Normal University, Nanjing 210097, China); ZHU Chang-Liang, YE Xin-Hai (Department of Biology, Nanjing Medical University, Nanjing 210029, China).

Abstract Total RNA was prepared from fat body of the silkworm, *Bombyx mori*, 9 hours after injected by *E. coli* K12D31. Single-strand cDNA was synthesized by reverse transcription (RT). Partial fragments of cecropin A cDNA were obtained, cloned and sequenced, by PCR technique with a pair of degenerate primers designed according to the amino acid sequence of CM4 in *Bombyx mori* and cecropin A in *Hyalophora*. These laid a foundation for further research on preparation of the probes of cecropin A for screening the silkworm cDNA library.

Key words cecropin A gene, *Bombyx Mori*, cDNA sequence

(上接第 375 页, Continued from page 375)

- 3 Wang J Z, Grundke-Iqbali I, Iqbal K. Glycosylation of microtubule associated protein tau: an abnormal posttranslational modification in Alzheimer dis 4 Singh T J, Grundke-Iqbali I, Wu Q L, et al. Protein kinase C and calcium/calmodulin dependent protein kinase II phosphorylate three repeat and four repeat tau isoforms at different rates. *Mol Cell Biochem*, 1997, **168** (1): 141~ 148
- 5 Goedert M, Jake R. Expression of separate isoforms of human tau protein: correlation with the tau pattern in brain and effects on tubulin polymerization. *EMBO J*, 1990, **9** (2): 4225~ 4230
- 6 Singh T J, Wang J Z, Novak M, et al. Calcium/calmodulin dependent protein kinase II phosphorylates tau at ser-262 but only partially inhibits its binding to microtubules. *FEBS Lett*, 1996, **387** (1): 145~ 148

Modulation of Protein Kinases on an Alzheimer-like Phosphorylation of τ . WANG Jian-Zhi, WANG Qun, WU Qiong-Li, I. GRUNDKE-IQBAL, K. IQBAL (Department of Pathophysiology, Tongji Medical University, Wuhan 430030, China).

Abstract Abnormal phosphorylation of microtubule

associated protein τ is one of the major mechanism in Alzheimer neurofibrillary degeneration. It was found that casein kinase 1 (CK-1), cyclic AMP-dependent protein kinase (PKA) and glycogen synthase kinase 3 (GSK-3) differentially phosphorylate human τ (T3L) and thus inhibit its biological activity. Moreover, the phosphorylation and inhibition of this activity of τ by GSK-3 is significantly increased if τ is prephosphorylated by PKA. Under this condition, only neglectable microtubules could be seen by electron microscopy. The data suggest that a synergistic role of PKA and GSK-3 might be involved in abnormal phosphorylation and functional inhibition of τ in Alzheimer disease.

Key words protein kinase, Alzheimer disease, τ protein, abnormal phosphorylation